
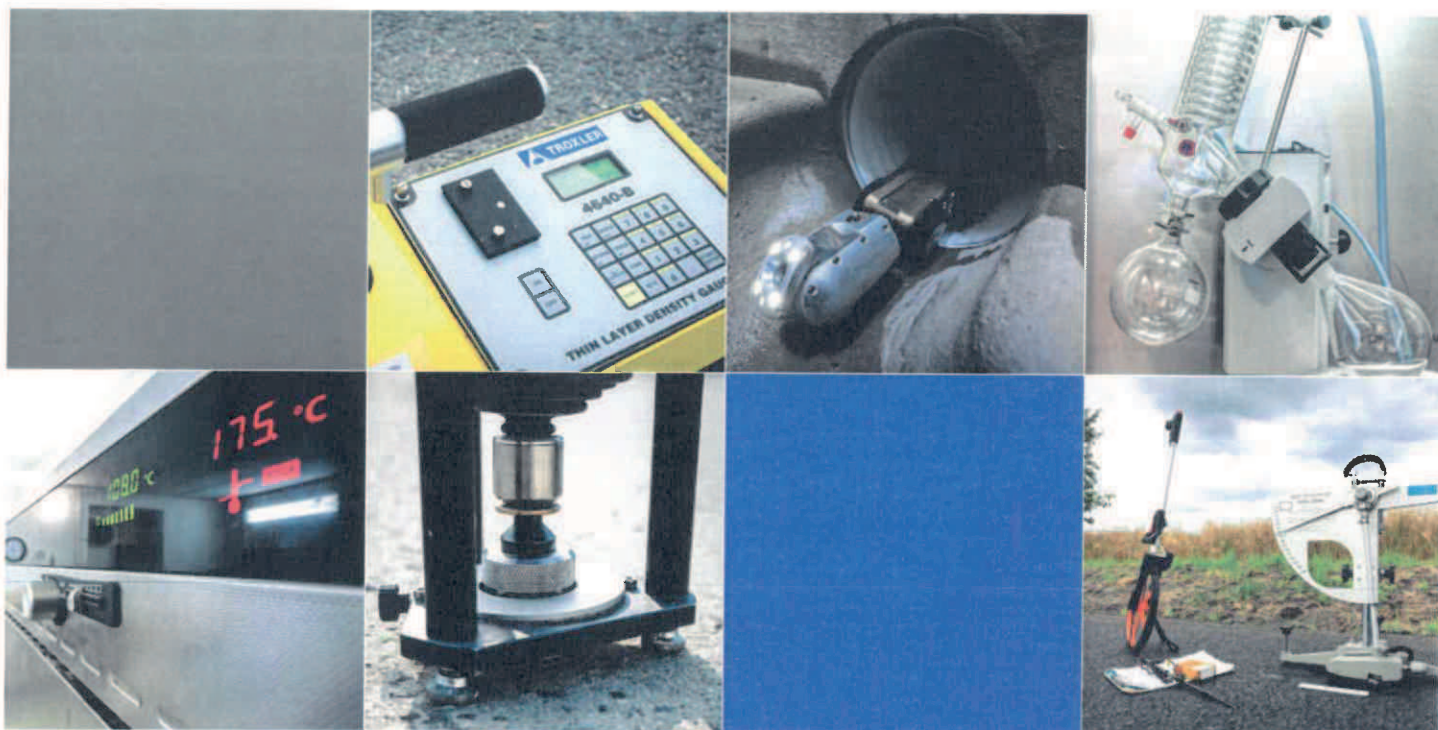


OBJEDNATEL:

PARDUBICKÝ KRAJ

Komenského náměstí 125, 532 11 Pardubice

	navrhl	SQZ s.r.o.		investor	Pardubický kraj
	vypracoval	SQZ s.r.o.		zak. číslo	132018-6
	zodp. projektant	ING. O. SVOBODA		datum	11/2018
				stupeň	DUSP
STATIKA, MOSTY, PAMÁTKY	STAVBA :			měřítko	-
	Modernizace mostu ev.č. 358-015 Litomyšl			č.přílohy:	paré :
				G.3	
Příloha:	PRŮZKUM VOZOVKY				



Skladba konstrukce zemního tělesa

Mosty na úseku Litomyšl - Skuteč - Svitavy



Zakázka č. D82/2018**Zhotovitel:**

SQZ s.r.o.

Ústřední laboratoř Olomouc – AZL 1135.1

U místní dráhy 939/5, 779 00 Olomouc – Nová Ulice

Objednatel:

Ateliér BENING s.r.o.

Benešov u Semil 7, 51206 Benešov u Semil

Na základě požadavku objednatele bylo provedeno posouzení skladby konstrukce zemního tělesa v okolí vybraných mostů v Pardubickém kraji. Dále bylo posouzena přítomnosti PAU ve vozovkovém souvrství. Zjištěný stav konstrukce je uveden v přílohách, které jsou nedílnou součástí této zprávy.

K provedení průzkumných prací byly použity vrtné soupravy Infratest RCDM 60-0100 a JaNo-189 HSV-142.

Přílohy:

P1 – Skladba konstrukce JV a skladba konstrukce HS

P2 – Fotodokumentace

V Olomouci dne: 16.10.2018

Zpracoval:

Ing. Jiří Konečný


SQZ
SQZ, s.r.o.
Ústřední laboratoř OLOMOUC
U místní dráhy 939/5, 779 00 Olomouc
IČ: 2574854, DIČ: CZ2574854

PROTOKOL TLOUŠŤKY JÁDROVÝCH VÝVRTŮ

Název akce: **Mosty na úseku Litomyšl - Skuteč - Svitavy**

Objednatel: **Ateliér BENING s.r.o.**

Benešov u Semil 7, 512 06

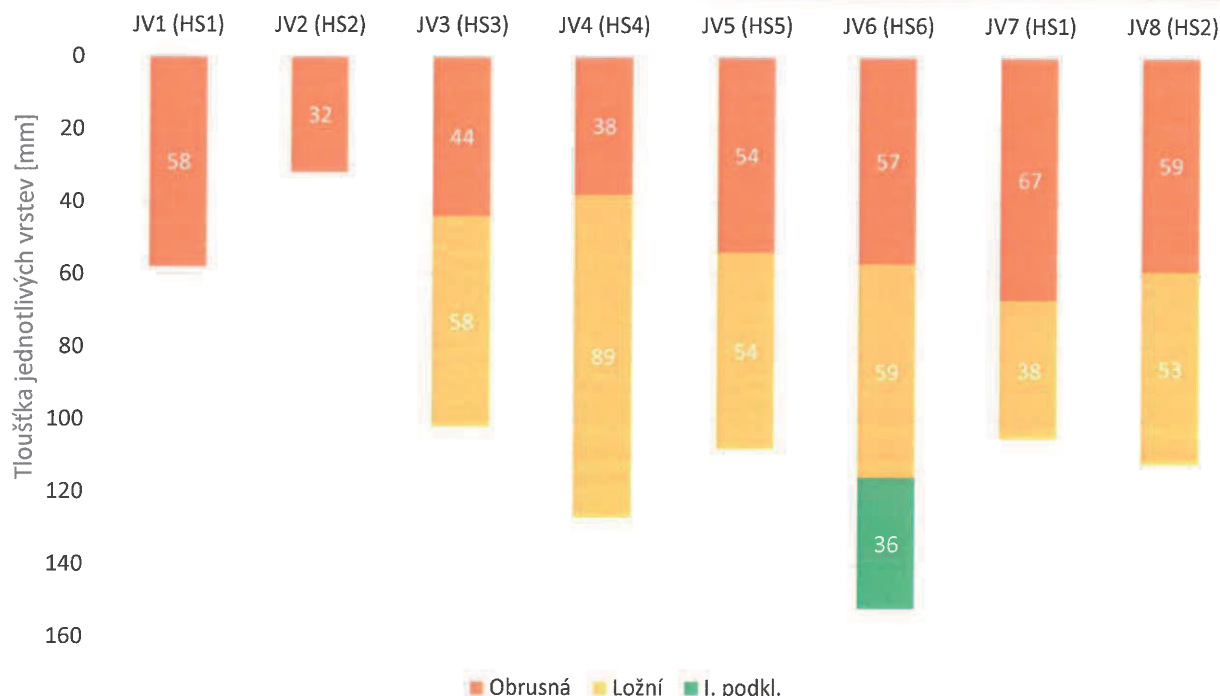
Datum: **11.10.2018**

Laborant: **Konečný, Lexmaul, Jakubčová**

Jádrový vývrt	Asfaltové souvrství [mm], dle ČSN EN 12697-36, čl. 4.1											Celkem	Podklad
	Nátěr	Obrusná	Ložní	I. podkl.	II. podkl.	III. podkl.	IV. podkl.	V. podkl.	VI. podkl.	VII. podkl.			
JV1 (HS1)		58										58	PM
JV2 (HS2)		32										32	PM
JV3 (HS3)		44	58									102	ŠD
JV4 (HS4)		38	89									127	ŠD
JV5 (HS5)		54	54									108	ŠD
JV6 (HS6)		57	59	36								152	ŠD
JV7 (HS1)		67	38									105	MAK
JV8 (HS2)		59	53									112	PM

Min.		32	38	36								32	
Max.		67	89	36								152	
Prům.		51	59	36								100	
S		11	15	0								35	
Var. koef.		21,8%	26,1%	0,0%								36%	

JV1 (HS1)	358-015 Litomyšl
JV2 (HS2)	358-014 Višňáry
JV3 (HS3)	357-009A Nové Hradky
JV4 (HS4)	357-010 Nové hradky II
JV5 (HS5)	358-010 Polanka
JV6 (HS6)	305-019 Štěpánov u Skutče
JV7 (HS1)	644-002 Pěčín
JV8 (HS2)	644-003 Pěčín - Hranice



Jádrový vývrt	Přítomnost polyaromatických uhlovodíků
JV1 (HS1)	Byla zjištěna přítomnost PAU na vzorcích ve vrstvě PM.
JV2 (HS2)	Byla zjištěna přítomnost PAU na vzorcích ve vrstvě PM.
JV3 (HS3)	Nebyla zjištěna přítomnost PAU na vzorcích.
JV4 (HS4)	Nebyla zjištěna přítomnost PAU na vzorcích.
JV5 (HS5)	Nebyla zjištěna přítomnost PAU na vzorcích.
JV6 (HS6)	Nebyla zjištěna přítomnost PAU na vzorcích.
JV7 (HS1)	Nebyla zjištěna přítomnost PAU na vzorcích.
JV8 (HS2)	Byla zjištěna přítomnost PAU na vzorcích ve druhé vrstvě.

Poznámka:

Vývrt JV6 rozpaden mezi vrstvami 1-2 a 2-3.

V Olomouci dne: 16.10.2018



Vedoucí laboratoře
Jan Svozil

Zpracoval:
Ing. Jiří Konečný

PROTOKOL O SKLADBĚ KONSTRUKCE

Název akce: Mosty na úseku Litomyšl - Skuteč - Svitavy

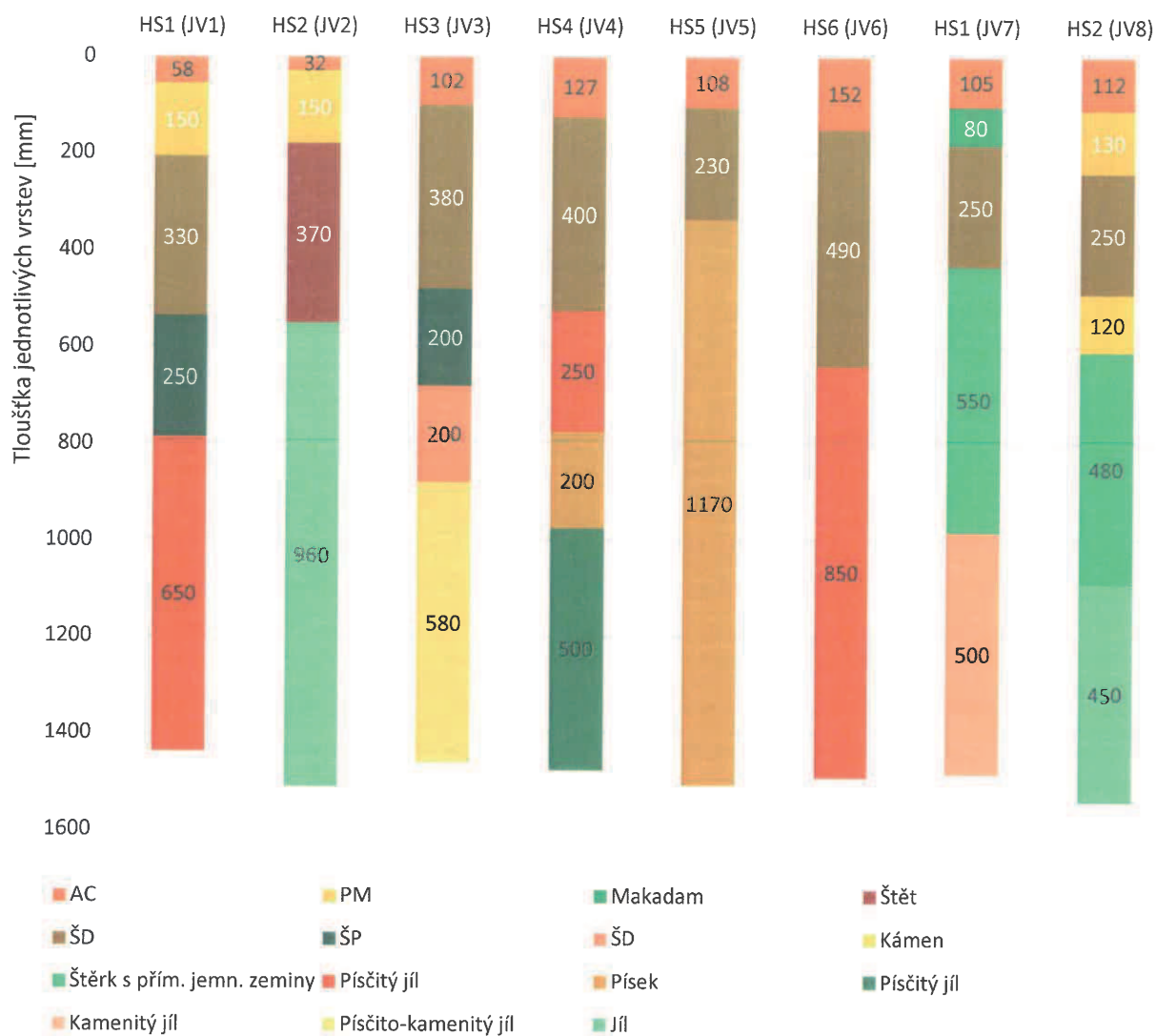
Objednatel: Ateliér BENING s.r.o.
Benešov u Semil 7, 512 06

Datum: 11.10.2018

Laborant: Konečný, Lexmaul, Jakubčová

Hloubená sonda	HS1 (JV1)	HS2 (JV2)	HS3 (JV3)	HS4 (JV4)	HS5 (JV5)	HS6 (JV6)	HS1 (JV7)	HS2 (JV8)		
Konstrukční vrstva [mm]										
AC	58	32	102	127	108	152	105	112		
PM	150	150						130		
Makadam							80			
Štět		370								
ŠD	330		380	400	230	490	250	250		
ŠP	250		200							
ŠD			200							
Kámen								120		
Štěrka s přím. jemn. zeminy							550	480		
Písčité jíl	650			250		850				
Písek				200	1170					
Písčité jíl				500						
Kamenitý jíl							500			
Písčito-kamenitý jíl			580							
Jíl		960						450		
Celkem [mm]	1438	1512	1462	1477	1508	1492	1485	1542		
Příslušný jádrový vývrt	JV1	JV2	JV3	JV4	JV5	JV6	JV7	JV8		
Rozbor zeminy										

HS1 (JV1)	358-015 Litomyšl
HS2 (JV2)	358-014 Višňáry
HS3 (JV3)	357-009A Nové Hradce
HS4 (JV4)	357-010 Nové hradce II
HS5 (JV5)	358-010 Polanka
HS6 (JV6)	305-019 Štěpánov u Skutče
HS1 (JV7)	644-002 Pěčín
HS2 (JV8)	644-003 Pěčín - Hranice



Poznámka:

V Olomouci dne: 16.10.2018

Zpracoval:
Ing. Jiří Konečný

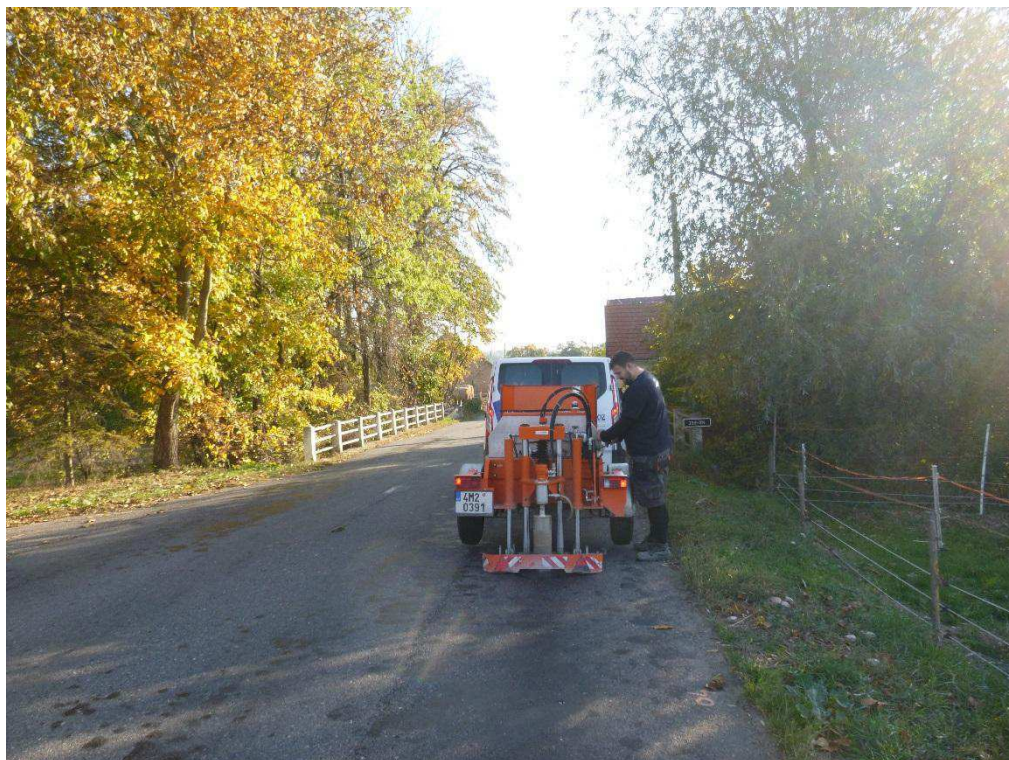
SQZ
 SQZ, s.r.o.
 Ústřední laboratoř OLOMOUČ
 U místní dráhy 939/5, 779 00 Olomouc
 IČ: 25743554, DIČ: C225743554



Obr. 1 Místo vrtu HS1, most 358-015 Litomyšl



Obr. 2 Vzorkovnice HS1, most 358-015 Litomyšl



Obr. 3 Místo vrtu HS2, most 358-014 Višňáry



Obr. 4 Vzorkovnice HS2, most 358-014 Višňáry



Obr. 5 Místo vrtu HS3, most 357-009A Nové Hradý



Obr. 6 Vzorkovnice HS3, most 357-009A Nové Hradý



Obr. 7 Místo vrtu HS4, most 357-010 Nové Hrady II



Obr. 8 Vzorkovnice HS4, most 357-010 Nové Hrady II



Obr. 9 Místo vrtu HS5, most 358-010 Polanka



Obr. 10 Vzorkovnice HS5, most 358-010 Polanka



Obr. 11 Místo vrtu HS6, most 305-019 Štěpánov u Skutče



Obr. 12 Vzorkovnice 1/3 vrtu HS6, most 305-019 Štěpánov u Skutče



Obr. 13 Vzorkovnice 2/3 vrtu HS6, most 305-019 Štěpánov u Skutče



Obr. 14 Vzorkovnice 3/3 vrtu HS6, most 305-019 Štěpánov u Skutče



Obr. 15 Místo vrtu HS1, most 644-002 Pěčíkov



Obr. 16 Vzorkovnice HS1, most 644-002 Pěčíkov



Obr. 17 Místo vrtu HS2, most 644-003 Pěčíkov - Hraničky



Obr. 18 Vzorkovnice HS2, most 644-003 Pěčíkov - Hraničky



Obr.19 AC vývrt JV1, most 358-015 Litomyšl



Obr. 20 AC vývrt JV2, most 358-014 Višňový



Obr. 21 AC vývrt JV3, most 357-009A Nové Hrady



Obr. 22 AC vývrt JV4, most 357-010 Nové Hrady II



Obr. 23 AC vývrt JV5, most 358-010 Polanka



Obr. 24 AC vývrt JV6, most 305-019 Štěpánov u Skutče



Obr. 25 AC vývrt JV7, most 644-002 Pěčíkov



Obr. 26 AC vývrt JV8, most 644-003 Pěčíkov - Hraničky



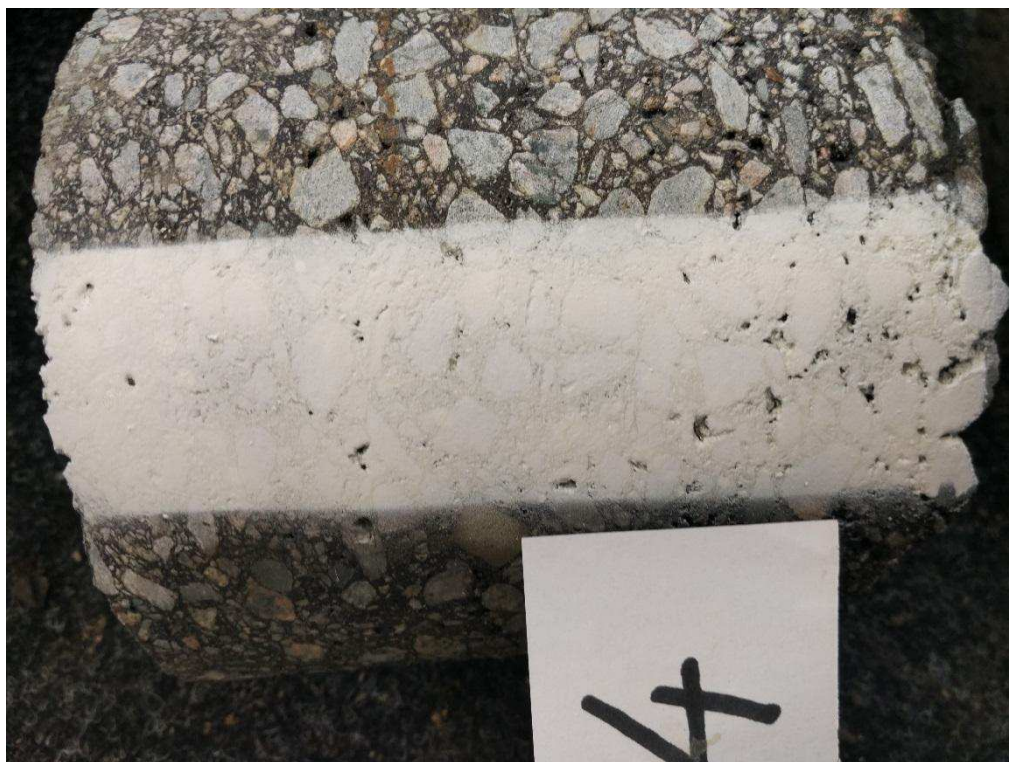
Obr. 27 Detail přítomnosti PAU na AC vývrtnu JV1



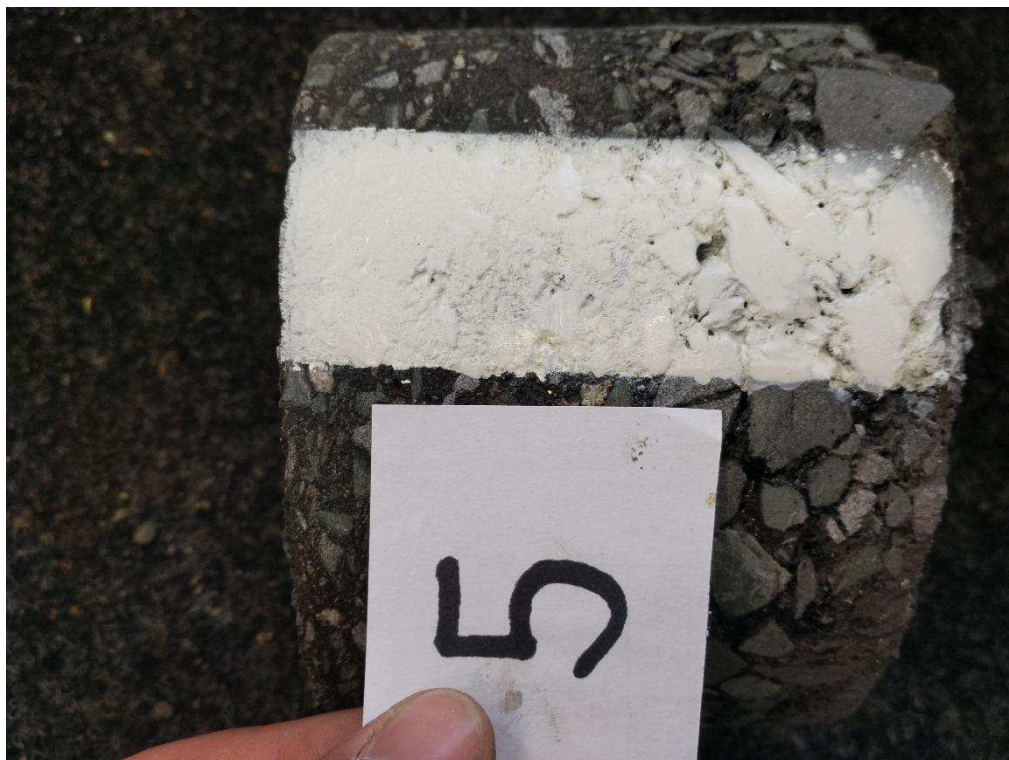
Obr. 28 Detail přítomnosti PAU na AC vývrtnu JV2



Obr. 29 Detail negativní přítomnosti PAU na AC vývrtnu JV3



Obr. 30 Detail negativní přítomnosti PAU na AC vývrtnu JV4



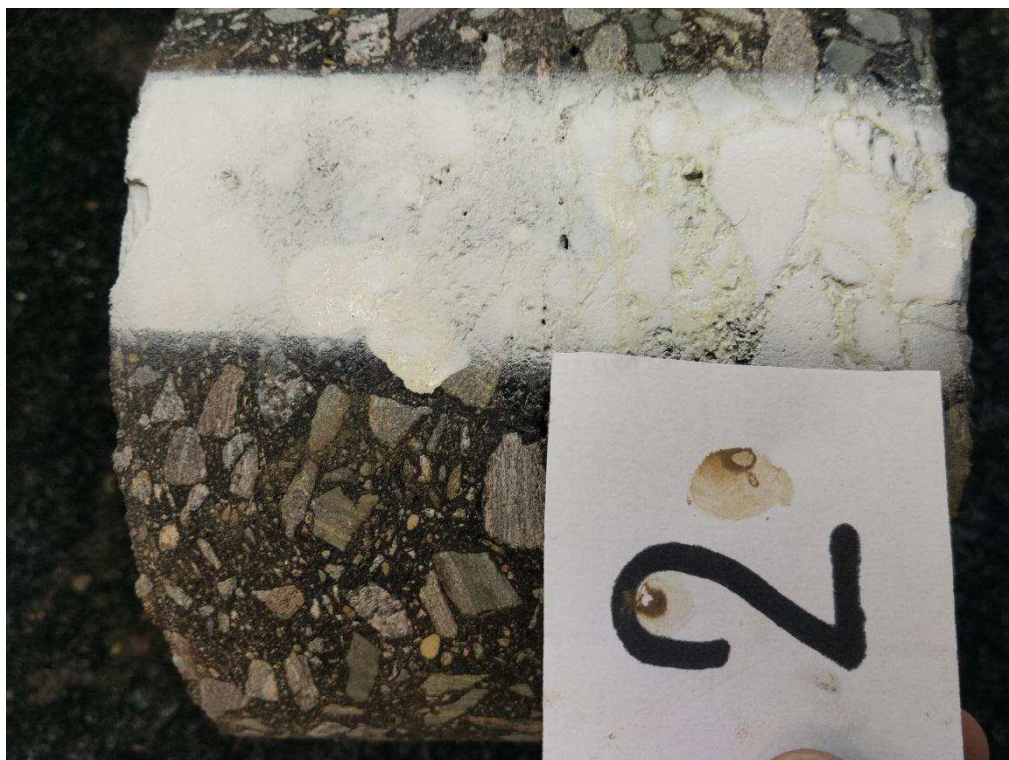
Obr. 31 Detail negativní přítomnosti PAU na AC vývrtnu JV5



Obr. 32 Detail negativní přítomnosti PAU na AC vývrtnu JV6



Obr. 33 Detail negativní přítomnosti PAU na AC vývrtnu JV7



Obr. 34 Detail přítomnosti PAU na AC vývrtnu JV8